

# 一种改进的多连接查询优化方法\*

钟武 胡守仁

(长沙工学院计算机系 长沙 410073)

**摘要** M. S. Chen 提出了用于产生具有较低计算代价的 join 丛树的启发式方法  $G_{MC}$  和  $G_{MR}$ 。本文在分析相关 join 操作的次序与计算代价的关系后,给出了时间复杂度为  $O(n^2)$  的对  $G_{MC}$  和  $G_{MR}$  的改进算法。由于该算法生成的 join 丛树中,任意两个相邻的内部结点(join 操作结点)的操作次序是最优的,因此,它比  $G_{MC}$  和  $G_{MR}$  能进一步降低 join 丛树的计算代价。

**关键词** 关系数据库,多元连接查询,查询优化,并行执行,执行依赖。

**中图法分类号** TP311.13

由于一般的 SRJ 查询在经过投影和选择下推优化之后,往往可以表示为多元连接查询 MJ (multi-join query),所以,目前无论是传统的数据库还是并行数据库,查询优化都是围绕着多元连接查询进行。

文献[1]探讨了一种 MJ 查询并行执行的优化方法,该文在一定的模型基础上,通过模拟对比和启发方式的比较,阐述了 MJ 查询并行执行的优化步骤:(1)像在单处理器系统的数据库系统所做的那样,利用启发方式  $G_{MC}$  或  $G_{MR}$  生成 join 操作丛树,使该树的总计算代价尽可能地小;(2)在同步执行时间思想的指导下,用自顶向下的方式为 join 丛树中的内部结点分配处理器,以降低查询执行时间,最终产生并行执行计划。

对上述优化步骤的第 1 步,文献[1]探讨了 4 种启发式优化方法,并根据文中给定的模型进行模拟统计后的结果,阐述了  $G_{MC}$  和  $G_{MR}$  是比较理想的优化方法,因为,①它们的复杂度较低,为  $O(n^2)$ ;②用它们优化的结果接近于用全局优化方法所获得的结果。

关于在单处理机系统上如何以低计算代价执行多 join 的问题已得到广泛的讨论,文献[2]讨论了采用线性执行策略,避免笛卡尔乘积的优化策略;文献[3,4]阐述了减小优化的复杂度而确立搜索子空间,以获最优解的优化思想。然而,文献[1~4]均未能能在具体的估算代价模型的基础上,就 join 操作次序与计算代价的关系作深入的研究,因此,它们也就不能从代价估算模型的特征上发掘出低复杂度的降低多 join 执行代价的更好的方法。我们对文献[1]所使用的模型进行研究后,发现该模型具有一些特征,它们能进一步改善  $G_{MC}$  和  $G_{MR}$  局部优化方法。

## 1 问题描述及模型

同文献[1],本文讨论的 join 操作是等连接操作。对于待连接的关系  $R_1$  和  $R_2$ ,它们之间存在同名的等连接属性。一个 join 查询图用  $G=(V, E)$  表征,其中,对于每个结点  $R \in V, R$  表征待连接的关系;对于边  $(R_1, R_2) \in E$ ,它表示需将  $R_1$  和  $R_2$  进行 join 操作,边上所附带的字母表征等连接的属性名。图 1(a)是一个 join 查询图,当执行图 1(a)中的  $R_1$  join  $R_3$  后,产生查询图 1(b)。其中  $R_1 \theta R_3$  表示  $R_1$  join  $R_3$  生成的关系。

**定义 1.**  $R_1$  join  $R_2$  的计算代价  $\text{cost}(R_1, R_2)$  为:  $|R_1| + |R_2| + |R_1 \theta R_2|$ 。其中  $|R_1 \theta R_2|$  表示关系  $R_1 \theta R_2$  的元组数;  $|R_1|$  和  $|R_2|$  的含义同上。(参见文献[1,5])。

根据文献[1],若  $G_B=(V_B, E_B)$  是查询图  $G$  的一个连通子图,令  $R_1, R_2, \dots, R_n$  是对应于  $V_B$  中的结点的关系,  $A_1, A_2, \dots, A_q$  是依附于  $E_B$  中的边上的不同属性,  $m_i$  是属性  $A_i (i=1, \dots, q)$  对应的边所邻接的关系的数目,则将  $R_1, R_2, \dots, R_n$  进行等连接后,所产生的关系  $R$  的大小为:

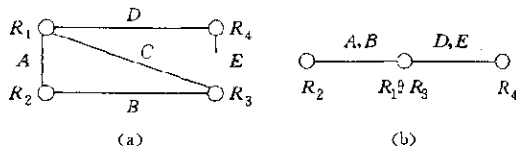


图1

\* 本文研究得到国防预研基金资助。作者钟武,1965年生,讲师,主要研究领域为数据库技术,并行与分布处理技术。胡守仁,1926年生,教授,博士生导师,主要研究领域为计算机组织与系统结构,并行与分布处理技术,数据库技术。

本文通讯联系人:胡守仁,长沙410073,长沙工学院计算机系

本文1996-12-09收到原稿,1997-03-03收到修改稿

$$|R| = \prod_{k=1}^n |R_k| / \prod_{i=1}^q |A_i|^{m_i-1} \tag{1}$$

关于公式(1),可参阅文献[6].

### 2 多个相关 join 的操作次序与计算代价

为方便讨论,本节的讨论都针对两个关系之间存在一个等连接属性的情况.读者将会看到,对两个关系间存在多个等连接属性的情况并不影响本节讨论的结果.

**定理 1.** 围绕关系  $R$ ,对于要执行的两个相关的 join 操作  $R_1 \text{ join } R$  和  $R_2 \text{ join } R$ ,其等连接属性分别为  $A_1$  和  $A_2$ (如图 2 所示),在操作执行的次序上有: $R_1 \text{ join } R$  先执行的总计算代价低于(等于) $R_2 \text{ join } R$  先执行的总计算代价的充要条件为  $|R_1|/|A_1| < (=) |R_2|/|A_2|$ .

证明: $R_1 \text{ join } R$  先执行的操作序列为: $R_1 \text{ join } R, R_1 \theta R \text{ join } R_2$ ,其总计算代价为

$$|R_1| + |R| + |R_1 \theta R| + |R_1 \theta R| + |R_2| + |R_1 \theta R \theta R| \tag{2}$$

同理, $R_2 \text{ join } R$  先执行的总计算代价为

$$|R_2| + |R| + |R_2 \theta R| + |R_2 \theta R| + |R_1| + |R_2 \theta R \theta R| \tag{3}$$

由(2)式-(3)式 $< (=) 0 \Leftrightarrow |R_1|/|A_1| < (=) |R_2|/|A_2|$ . □

**定义 2.** 对围绕关系  $R$ 的要执行的两个相关的 join 操作  $R_1 \text{ join } R$  和  $R_2 \text{ join } R$ ,当  $|R_1|/|A_1| < |R_2|/|A_2|$  时, $R_1 \text{ join } R$  应先于  $R_2 \text{ join } R$  执行,该关系记为: $R_1 \text{ join } R \text{ before } R_2 \text{ join } R$ ;当  $|R_1|/|A_1| = |R_2|/|A_2|$  时,不论  $R_1 \text{ join } R$  先执行还是  $R_2 \text{ join } R$  先执行,总计算代价都相等,该关系记为: $R_1 \text{ join } R \text{ equal } R_2 \text{ join } R$ . 下面我们将看到,当围绕  $R$  存在多个 join 操作时,操作间的 before 关系和 equal 关系存在传递性.

**定理 2.** 围绕关系  $R$ ,对于要执行的 3 个相关的 join 操作  $R_1 \text{ join } R, R_2 \text{ join } R$  和  $R_3 \text{ join } R$ ,其等连接属性分别为  $A_1, A_2$  和  $A_3$ (如图 3 所示).若存在  $R_1 \text{ join } R \text{ before } R_2 \text{ join } R$  和  $R_2 \text{ join } R \text{ before } R_3 \text{ join } R$ ,则  $R_1 \text{ join } R \text{ before } R_3 \text{ join } R$ .

证明:由

$$R_1 \text{ join } R \text{ before } R_2 \text{ join } R \Rightarrow |R_1|/|A_1| < |R_2|/|A_2| \tag{4}$$

由

$$R_2 \text{ join } R \text{ before } R_3 \text{ join } R \Rightarrow |R_2|/|A_2| < |R_3|/|A_3| \tag{5}$$

由(4)式、(5)式  $\Rightarrow |R_1|/|A_1| < |R_3|/|A_3|$ . □

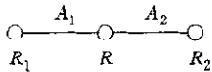


图2

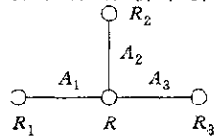


图3

**定理 3.** 围绕关系  $R$ ,对要执行的 3 个相关的 join 操作  $R_1 \text{ join } R, R_2 \text{ join } R$  和  $R_3 \text{ join } R$ ,其等连接属性分别为  $A_1, A_2$  和  $A_3$ (如图 3).若存在  $R_1 \text{ join } R \text{ before } R_2 \text{ join } R$  和  $R_2 \text{ join } R \text{ equal } R_3 \text{ join } R$ ,则  $R_1 \text{ join } R \text{ before } R_3 \text{ join } R$ (证明略).

**定理 4.** 围绕关系  $R$ ,对于要执行的 3 个相关的 join 操作  $R_1 \text{ join } R, R_2 \text{ join } R$  和  $R_3 \text{ join } R$ ,其等连接属性分别为  $A_1, A_2$  和  $A_3$ (如图 3 所示),若存在  $R_1 \text{ join } R \text{ equal } R_2 \text{ join } R$  和  $R_2 \text{ join } R \text{ before } R_3 \text{ join } R$ ,则  $R_1 \text{ join } R \text{ before } R_3 \text{ join } R$ (证明略).

### 3 优化算法

不论是  $G_{MC}$  还是  $G_{MR}$ ,其思想均为局部选优.这里,我们就  $G_{MC}$  的改进做进一步的讨论.对  $G_{MR}$  的改进的讨论可类似地进行.

在描述改进的算法以前,我们就图  $G=(V, E)$  的定义做如下的扩充:(1) 对  $R \in V, R$  关系中的元组个数用  $R$ .value 表示;(2) 对于边  $(R, R') \in E$ ,增加属性 *weight* 和 *lock*.这里,  $(R, R')$ .*weight* =  $\prod_{A \in Att(R, R')} |A|$ .其中,  $Att(R, R')$  表示  $R$  和  $R'$  之间的等连接属性集合.  $(R, R')$ .*lock* 的类型为结点集合类型,其值由算法 *set-lock* 确定.

**定义 3.** 对于边  $(R, R')$ ,若  $(R, R')$ .*lock* =  $\{\}$ ,则称  $(R, R')$  为自由边;否则,称上锁边.若  $(R, R')$ .*lock* =  $\{R\}$ ,则称边  $(R, R')$  被上了结点  $R$  锁.

对于结点  $R$  及其关联的边  $e$  和  $e'$ ,若  $e \text{ before } e'$ ,则  $e'$  对应的 join 操作必须滞后于  $e$  对应的 join 操作,即便是  $cost(e) < cost(e')$  时也是如此.这就克服了  $G_{MC}$  的局部选优所带来的不足.为此,通过对  $e'$  边上  $R$  锁,使得  $e'$  成为非自由边,达到禁止  $G_{MC}$  优先考虑对  $e'$  的选择的目的.由于一条边只与两个结点关联,因此,一条边最多被上两把锁.对与  $R$

关联的边设锁的算法如下:

```

algorithm set-lock(R)
begin
   $e_s = e;$  /* 变量  $e$  的类型为边类型.  $e$  为特殊边, 对任意边  $e'$  有  $e' \text{ before } e$  */
   $L_s = \{\};$  /* 变量  $L$  的类型为边集合类型. 它用于存放与  $e$  有 equal 关系的边 */
  for all 与  $R$  相邻的结点  $R'$  do
    if  $\langle R, R' \rangle \text{ before } e$  then
      begin
        for all  $\langle R, R_x \rangle \in L$  do /* 对存放在  $L$  中的边上锁. 因为  $\langle R, R' \rangle \text{ before } e$ , 则有  $\langle R, R' \rangle \text{ before } \langle R, R_x \rangle$  (见定理 3) */
           $\langle R, R_x \rangle.lock_s = \langle R, R_x \rangle.lock + \{R\};$ 
           $L_s = \{\langle R, R' \rangle\};$   $e_s = \langle R, R' \rangle;$   $\langle R, R' \rangle.lock_s = \langle R, R' \rangle.lock - \{R\};$ 
        end
      end
    else
      if  $\langle R, R' \rangle \text{ equal } e$  then
        begin
           $L_s = L + \{\langle R, R' \rangle\};$   $\langle R, R' \rangle.lock_s = \langle R, R' \rangle.lock - \{R\};$ 
        end
      else  $\langle R, R' \rangle.lock_s = \langle R, R' \rangle.lock + \{R\};$  /* 当  $e \text{ before } \langle R, R' \rangle$ , 对  $L$  中的任意边  $e'$ , 必有  $e' \text{ before } \langle R, R' \rangle$  (见定理 4) */
    end
  end
return
end set-lock

```

以下是改进的  $G_{MC}$  算法.

algorithm improved- $G_{MC}(G)$  /\*  $G = (V, E)$  \*/

(1) 用 set-lock 算法对图  $G$  中所有的结点所关联的边设锁;

for all  $R \in V$  do

set-lock( $R$ );

(2) 在图  $G$  中的自由边中, 根据  $G_{MC}$  选择 join 操作;

$m_s =$  最大值;

$e_s = e_s$  /\* 同 set-lock 算法 \*/

for all  $\langle R, R' \rangle \in E$  do

if  $\langle R, R' \rangle.lock = \{\}$  and  $\text{cost}(\langle R, R' \rangle) < m$  then

begin

$m_s = \text{cost}(\langle R, R' \rangle);$   $e_s = \langle R, R' \rangle$

end

(3) 若  $e = e_s$ , 则转(7);

(4) 根据第(2)步最终选择的边  $e$  (设为  $\langle R, R' \rangle$ ), 确定  $R$  join  $R'$  为所选操作. 修正图  $G$ ;

产生新结点  $R_{new}$ ;

$R_{new}.value_s = R.value \times R'.value / \langle R, R' \rangle.weight_s$ ; /\* 计算新关系的大小 \*/

$V_s = V + \{R_{new}\}$ ; /\* 向图  $G$  加入新结点 \*/

for all 与  $R$  或  $R'$  相邻的结点  $R_e$  do /\* 向图  $G$  中加入与新结点  $R_{new}$  关联的边 \*/

begin

$E_s = E + \{\langle R_{new}, R_e \rangle\};$   $\langle R_{new}, R_e \rangle.lock_s = \{\};$

if  $R_e$  与  $R$  和  $R'$  均相邻 then  $\langle R_{new}, R_e \rangle.weight_s = \langle R, R_e \rangle.weight \times \langle R', R_e \rangle.weight$

else

if  $R_e$  与  $R'$  相邻 then  $\langle R_{new}, R_e \rangle.weight_s = \langle R', R_e \rangle.weight$

else  $\langle R_{new}, R_e \rangle.weight_s = \langle R, R_e \rangle.weight$ ;

end;

从图  $G$  中消去结点  $R, R'$  及其与它们关联的边;

(5) 对与  $R_{new}$  关联的边设  $R_{new}$  锁; 由于  $R_{new}$  的产生, 与其相邻的结点所关联的边之间的 before 关系和 equal 关系有可能变化. 因此, 需重新设锁;

set-lock( $R_{new}$ );

for all 与  $R_{new}$  相邻的结点  $R_e$  do

set-lock( $R_e$ );

(6) 转(2);

(7) 结束.

定理 5. improved- $G_{MC}(G)$  算法对图  $G$  的每一个结点  $R$  执行 set-lock( $R$ ) 不会导致图  $G$  中的所有边被锁住.

证明: 在图  $G$  中任意选取一条边  $\langle R_1, R_2 \rangle$ . 若  $\langle R_1, R_2 \rangle.lock = \{R_1, R_2\}$ , 则可在  $R_2$  关联的边中找到一条边  $\langle R_2, R_3 \rangle$ , 有  $\langle R_2, R_3 \rangle.lock = \{R_3\}$  或  $\{\}$ . 若为  $\{\}$ , 则存在没有被锁住的边; 若为  $\{R_3\}$ , 我们可按如下方法继续搜索:

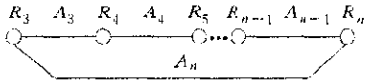


图4

- (1)  $i \leftarrow 3$ ;
- (2) 搜索关联于结点  $R_i$  的边  $(R_{i+1}, R_i)$ ,  $R_i$  对边  $(R_{i+1}, R_i)$  没有上锁或  $(R_{i-1}, R_i)$  是自由边;
- (3) 若  $(R_{i+1}, R_i)$  是自由边, 搜索结束; 若  $(R_{i+1}, R_i)$ ,  $lock = \{R_{i-1}\}$ , 则  $i \leftarrow i + 1$ , 转第(2)步.

上述搜索过程不会陷入无限循环之中, 它会找到自由边而终止搜索. 因为: 由于图  $G$  中的结点个数是有限的, 因此, 搜索要进入无限循环的条件是: 结点  $R_3, R_4, \dots, R_n$  必构成回路(如图 4 所示), 且  $\langle R_3, R_4 \rangle, lock = \{R_4\}, \langle R_4, R_5 \rangle, lock = \{R_5\}, \dots, \langle R_{n-1}, R_n \rangle, lock = \{R_n\}, \langle R_n, R_3 \rangle, lock = \{R_3\}$ . 由该条件, 可获得如下不等式组:

$$\begin{cases} |R_3|/|A_3| > |R_4|/|A_4| \\ |R_4|/|A_4| > |R_5|/|A_5| \\ \vdots \\ |R_{n-1}|/|A_{n-1}| > |R_n|/|A_n| \\ |R_n|/|A_n| > |R_3|/|A_3| \end{cases}$$

将不等式组中的不等式的左部和右部分别相乘后, 得出不等式:  $\prod_{k=3}^n |R_k| / \prod_{k=3}^n |A_k| > \prod_{k=3}^n |R_k| / \prod_{k=3}^n |A_k|$ . 由于该不等式不可能存在, 因此, 图 4 中的回路必不存在. [

简要的算法复杂度分析略. 读者不难看出算法的复杂度为  $O(n^2)$ .

#### 4 结束语

通过分析文献[1]给出的计算代价模型和估算 join 操作所产生关系的大小的模型, 给出了模型所具有的一些特征. 借助于该特征, 提出了能进一步降低 MJ 查询计算代价的优化方法. 该优化方法与文献[1]提出的  $G_{MC}$  和  $G_{ME}$  优化方法相比, 它们的不同之处在于: 后者只考虑了局部选优这种传统性的方法, 而前者是在局部选优的过程中, 还考虑了优选出来的 join 操作应与下一次优选出来的 join 操作在执行次序上应是最优的. 也就是说, 后者不光从局部考虑选优, 还从全局上考虑了任意两个有依赖关系的 join 操作所构成的操作序列是最优的. 另外, 由于两者的复杂度均为  $O(n^2)$ , 因此, 前者的优化方法较后者更优.

#### 参考文献

- 1 Chen M S, Yu P S, Wu K L. Optimization of parallel execution for multi-join queries. IEEE Transactions on Knowledge and Data Engineering, 1996, 8(3): 416~428
- 2 Tay Y C. On optimality of strategies for multiple joins. In: Proceedings of the 9th ACM SIGACT-SIGMOD-SIGART Symposium on Principle of Database Systems, 1990, 124~131
- 3 Swami A, Gupta A. Optimization of large join queries. In: Proceedings of the ACM SIGMOD International Conference on Management of Data, 1988, 8~17
- 4 Swami A. Optimization of large join queries: combining heuristics and combinatorial techniques. In: Proceedings of the ACM SIGMOD International Conference on Management of Data, 1989, 367~376
- 5 Wolf J L, Dais D M, Yu P S. A parallel sort merge join algorithm for managing data skew. IEEE Transactions on Parallel and Distributed Systems, 1993, 4(1): 70~86
- 6 Chen M S, Yu P S. Combining join and semijoin operations for distributed query processing. IEEE Transactions on Knowledge and Data Engineering, 1993, 5(3): 534~542

### An Improved Optimizing Method for Multi-join Queries

ZHONG Wu HU Shou-ren

(Department of Computer Science Changsha Institute of Technology Changsha 410073)

**Abstract** M. S. Chen has put forward heuristics  $G_{MC}$  and  $G_{ME}$ , which are used to produce a join bushy tree with less total cost. On the basis of his work, the paper gives an improved algorithm with complexity of  $O(n^2)$ , by means of analysing relationship between the order of join operations and computing costs. The algorithm can reduce more total cost of a join bushy tree than  $G_{MC}$  and  $G_{ME}$ , which benefits from the following: the operation order of two arbitrary adjacent internal nodes (join operations) is optimum.

**Key words** Relational database, multi-join queries, query optimization, parallel execution, execution dependency.

**Class number** TP311.13